

# Akkretion & Akkretionsscheiben

Sphärische Akkretion, Eddington-Limit

**Akkretionsscheiben:**

- Drehmoment, Drehimpuls, Viskosität

**Dünne Scheiben:**

- Drehmoment, -impuls, Strahlungstransport

**Stationäre Scheiben**

- Erhaltungsgrößen, Leuchtkraft
- $\alpha$ -Parametrisierung, Turbulenz

**Magneto-Rotations-Instabilität**

**Drehimpulstransport durch magnetische Scheibenwinde**

**ADAF** (“Advection dominated accretion flow”)

**Dicke Scheiben, Tori**

**Scheibenspektrum**

# Sphärische Akkretion

## Hydrodynamische, sphärisch symmetrische stationäre Akkretion

(Bondi 1952)

- Kontinuitätsgleichung:  $\partial_t \rho + \nabla \cdot (\rho \mathbf{v}) = 0$   
 → radial-sphärische Massenakkretionsrate:  $\dot{M} = 4\pi r^2 \rho v$
- Bewegungsgleichung:  $\rho \partial_t \mathbf{v} + \rho \mathbf{v} \cdot \nabla \mathbf{v} = -\nabla p + \rho GM r^{-2}$   
 → radial/konstant:  
 $v(dv/dr) = -(1/\rho)(dp/dr) - GM/r^2$  (\*)
- Integration zur Bernoulli-Gleichung (Energieerhaltung):

$$\frac{v^2}{2} + \int \frac{dp'}{\rho(p')} - \frac{GM}{r} = \text{const.} \equiv E$$

- Annahme: polytropes Gasgesetz  $p = K \rho^\gamma$   
 → Schallgeschwindigkeit  $a^2 \equiv dp/d\rho = \gamma p/\rho$   
 $\rightarrow \frac{v^2}{2} + \frac{1}{\gamma-1} a^2 - \frac{GM}{r} = E = \frac{1}{\gamma-1} a_\infty^2$  (\*\*)

- Bondi 1952:  
 → Verschiedene Akkretionsraten  $\dot{M}$   
 → physikalisch verschiedene Lösungsklassen  
 Hier: Akkretionslösung:  $v$  monoton ansteigend von  $v = 0$  bei  $r = \infty$   
 auf Freifall  $v \rightarrow \sqrt{2GM/r^2}$  für  $r \rightarrow 0$   
 Frage: Welches ist die dazugehörige Akkretionsrate?

Umformung von (\*) und (\*\*):

$$\rightarrow \rho'/\rho + v'/v + 2/r = 0, \quad vv' + a_s^2 \rho'/\rho + GM/r^2 = 0$$

$$\rightarrow v' = D_1/D, \quad \rho' = -D_2/D$$

mit

$$D_1 = (2a^2/r - GM/r^2)/\rho, \quad D_2 = (2v^2/r - GM/r^2)/v,$$

$$D = (v^2 - a_s^2)/\rho v$$

daraus

- Stetige, monotone Lösung verbindet Singularitäten am “kritischen Punkt”  $r = r_s$ , an dem  $D_1 = D_2 = D = 0$

$$\rightarrow v_s^2 = a_s^2 = GM/2r_s \quad (\rightarrow \text{kritischer} = \text{sonischer Punkt})$$

$$\rightarrow v_s^2 = a_s^2 = 2a_\infty^2/(5 - 3\gamma), \quad r_s = ((5 - 3\gamma)/4)GM/a_\infty^2$$

daraus

- Mit  $\rho = \rho_\infty (a/a_\infty)^{2/(\gamma-1)}$  folgt Massenflußrate:

$$\dot{M} = 4\pi \rho_\infty v_s r_s^2 (a/a_\infty)^{2/(\gamma-1)} = 4\pi \lambda_s (GM/a_\infty^2)^2 \rho_\infty a_\infty$$

mit Eigenwert  $\lambda_s = 0.25$  für  $\gamma = 5/3$

- Vergleich mit AGN:

$$\rho_\infty \sim 5 \times 10^{-27} \left( \frac{L}{10^{45} \text{ergs}^{-1}} \right) \left( \frac{T}{10^4 \text{K}} \right)^{5/3} \left( \frac{\eta}{0.1} \right)^{-1} \left( \frac{M}{10^8 M_\odot} \right)^{-2} \text{g/cm}^3$$

typische interstellare Dichten eher  $10^{-24} \text{g/cm}^3$

## Akkretion – Eddington Limit

- Bisher: Strahlungsdruck vernachlässigt
- Aber: Massenakkretion → Energieerzeugung (Effizienz  $\eta \simeq 0.1$ )  
→ Strahlungsdruck → “bremst” Akkretion
- Beschleunigung durch Strahlungsdruck:  $g_{\text{rad}} = \sigma_T L / 4\pi m_p c r^2$   
(Thomson-Wirkungsquerschnitt  $\sigma_T$ )

daraus

- Eddington-Leuchtkraft:

$$L_{\text{Edd}} = \frac{4\pi c G M m_p}{\sigma_T} = 1.51 \cdot 10^{46} \left( \frac{M}{10^8 M_\odot} \right) \text{ erg s}^{-1}$$

(direkter Hinweis auf hohe Zentralmassen!)

- Kritische Akkretionsrate ↔ Eddington-Leuchtkraft:

$$\begin{aligned} \dot{M}_{\text{Edd}} &= \frac{L_{\text{Edd}}}{c^2 \eta} \simeq 10^{26} \left( \frac{M}{10^8 M_\odot} \right) \left( \frac{\eta}{0.1} \right)^{-1} \text{ g s}^{-1} \\ &\simeq 3 \left( \frac{M}{10^8 M_\odot} \right) \left( \frac{\eta}{0.1} \right)^{-1} M_\odot \text{ yr}^{-1} \end{aligned}$$

- Zeitskala für Wachstum des BH (massenunabhängig):

$$\tau_{\text{Edd}} = \frac{M}{\dot{M}_{\text{Edd}}} \simeq 4 \times 10^8 \eta \frac{L_{\text{Edd}}}{L} \text{ yr}$$

# Akkretionscheiben – Grundlagen

Problem der Akkretion: Drehimpuls-Transport/Austausch

Einfall von Material nur bei Abgabe von Drehimpuls:

(1) Vergleich der Zahlenwerte:

- Sonnensystem:
  - Jupiter: 99% des Drehimpuls
  - Sonne: 99% der Masse
- AGN: Spezifischer Drehimpuls  $\tilde{l} \equiv rv_\phi$
- in galaktischer Scheibe:  $\simeq 10^{30} \text{cm}^2 \text{s}^{-1}$
- schwarzes Loch ( $10^8 M_\odot, a = 1$ ):  $\simeq 10^{23} \text{cm}^2 \text{s}^{-1}$

(2) Keplerorbits stabil, Drehimpulserhaltung  $\rightarrow$  keine Akkretion

(3) Ausbildung einer rotierenden Scheibe:

Kollision einfallender Materieströme  $\rightarrow$  Drehimpulsaustausch

$\rightarrow$  Bei jedem Radius: Material gleichen spez. Drehimpuls':

$\tilde{l} = \tilde{l}(r) = \sqrt{GMr} \rightarrow$  gleiche Orbits, "Kepler-Scheibe"

(4) Drehimpulsaustausch in der Scheibe:

Kollision der Scheibenmaterie, "Reibung"

$\rightarrow$  Abgabe von Drehimpuls nach außen (?)

$\rightarrow$  Verkleinerung des Orbits, Akkretion:

Akkretionsrate:  $\dot{M} = d(\rho V)/dt = \bar{\rho} A dr/dt = 2\pi r h \bar{\rho} v_r$

(Scheibendicke  $2h$ , mittl. Dichte  $\bar{\rho}$ , Oberflächendichte  $\Sigma = \bar{\rho}h$ )

$\rightarrow$  Keplerscheibe:  $v_\phi = r\Omega \simeq \sqrt{GM/r} \gg v_r$

$\rightarrow$  erforderliche Drehimpulsverlustrate:

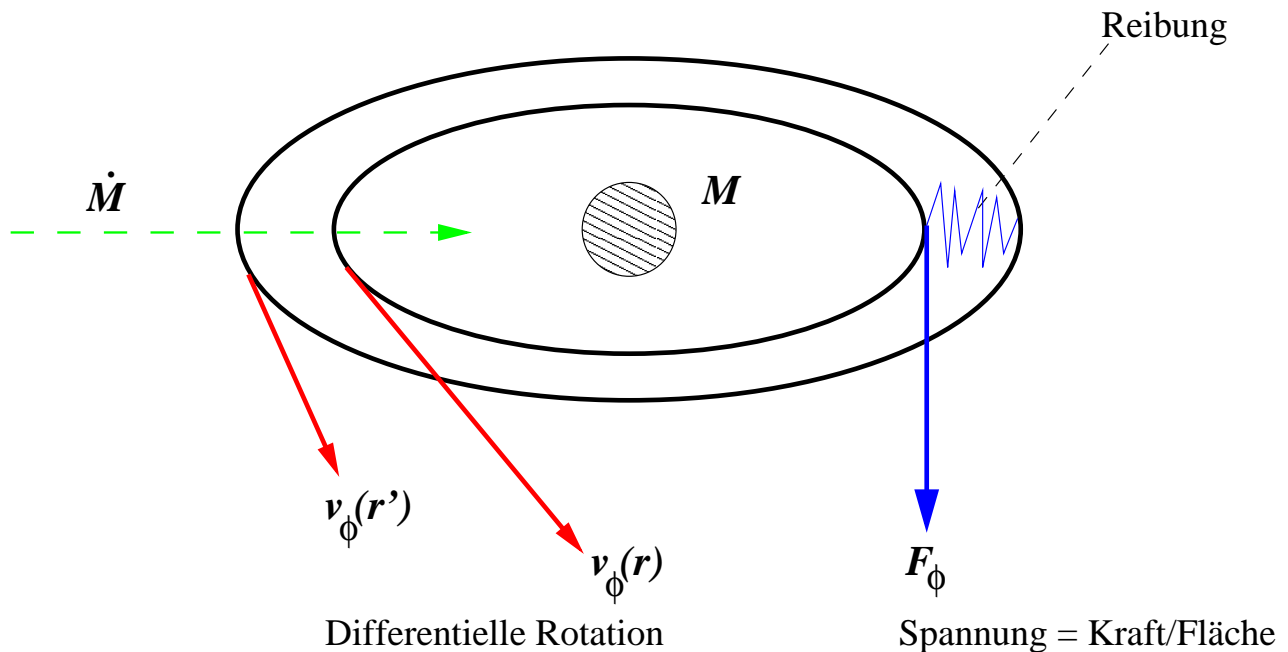
$\dot{J} \simeq \dot{M} \tilde{l}(r_D) = \dot{M} \sqrt{GM r_D}$

(Scheibenaußenradius  $r_D$ )

# Akkretionscheiben – Drehmoment/-impuls

Problem der Akkretion: Drehimpuls-Transport/Austausch

(5) Viskose Reibung:



→ Spannung  $|\mathbf{F}_\phi| = -t_{r\phi}$  (Spannung: Kraft/Fläche)

Visk. Spannungstensor: Transportrate:  $i$ -Impuls in  $j$ -Richtung:

$$t_{ij} = \rho\nu(\partial_{x_j}v_i + \partial_{x_i}v_j - (2/3)(\nabla \cdot \mathbf{v})\delta_{ij})$$

→ Kinematischer Viskositätskoeffizient  $\nu$  → Modell erforderlich!

$$t_{r\phi} = \rho\nu(\partial_r v_\phi - v_\phi/r) = \rho\nu r \partial_r \Omega(r)$$

→ Keplerscheibe:  $t_{r\phi} = -(3/2)\rho\nu\Omega = -(3/2)\rho\nu\sqrt{GM/r^3}$

Drehmoment zwischen zwei Scheibenringen:

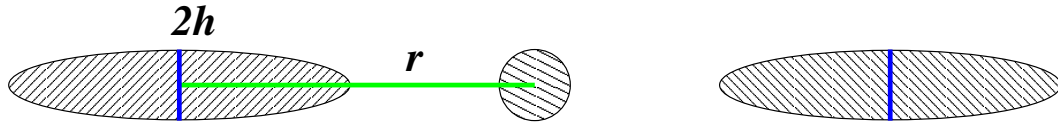
$$\mathcal{G} = \int r d\phi \int r t_{r\phi} dz = 2\pi r^3 \rho\nu \Sigma \partial_r \Omega$$

→ Falls  $\partial_r \Omega < 0$ : →  $\mathcal{G} < 0$

→ Drehimpulstransport nach außen

# Dünne Akkretionscheiben – Modell

Annahme: Scheibendicke  $h \ll r$  (meist  $h/r < 0.1$ )



→ Gravitationskraft  $\perp$  Scheibe  $F_{G,z} = m_p GMz/r^3$

→ Teilchen mit  $v = c_s$  kann  $h \simeq rc_s/v_K$  erreichen

→  $h/r \simeq c_s/v_K$

Bedingung für dünne Scheibe:

$$\frac{k_B T}{m_p c^2} \frac{r}{r_g} \ll 1$$

erfüllt wenn:

thermische  $\ll$  potentielle Energie:  $k_B T \ll m_p GM/r$

→ “kühle” Scheibe (erfordert effiziente Strahlungskühlung; ok für  $k_B T > m_e c^2$ )

Beispiel AGN:

Maximum der Scheiben-Leuchtkraft nahe am BH

→  $L \simeq L(r_g) = \pi r_g^2 \sigma T^4$  (lokaler Schwarzkörper)

$$\rightarrow T \simeq 10^6 \text{K} \left( \frac{L}{10^{46} \text{erg s}^{-1}} \right)^{-1/4} \left( \frac{L}{L_{\text{edd}}} \right)$$

→ kühl im Vgl. zur Protonen-Ruheenergie  $m_p c^2 \rightarrow 10^{13} \text{K} \rightarrow$  Näherung der dünnen Scheibe in AGN gut erfüllt

# Dünne Akkretionscheiben – Zeitentwicklung

Axialsymmetrische dünne Akkretionsscheibe:  $h(r) \ll r$

→ Mittelung über vertikales Scheibenprofil

→ Oberflächendichte:  $\Sigma \equiv \int \rho(r, z) dz$

→ “Scheibenhöhe”:  $h = \Sigma / 2\bar{\rho}$

→ Hydrodynamisches Gleichungssystem:

$$\partial_r \rho + \nabla \cdot (\rho \mathbf{v}) = 0 \quad (\text{Massenerhaltung})$$

$$\rho(\partial_t \mathbf{v} + (\mathbf{v} \cdot \nabla) \mathbf{v}) + \nabla P + \rho \nabla \Phi = \nabla \cdot \mathbf{T} \quad (\text{Impulserhaltung})$$

Koordinaten entkoppelt ( $v_z = 0$ ):

$$\partial_t \Sigma + (1/r) \partial_r (r \Sigma v_r) = 0 \quad (\text{Massenerhaltung})$$

$$r \partial_t (r^2 \Sigma \Omega) + \partial_r (r^3 \Sigma \Omega v_r) = (1/2\pi) \partial_r \mathcal{G} \quad (\text{Drehimpulserhaltung})$$

daraus:

Akkretionsgeschwindigkeit ( $\sim$  Scherung und Viskosität):

$$v_r = \frac{\partial_r (r^3 \nu \Sigma \partial_r \Omega)}{r \Sigma \partial_r (r^2 \Omega)}$$

Zeitentwicklung der Oberflächendichte:

$$\partial_t \Sigma = -\frac{1}{r} \partial_r \left( \frac{\partial_r (r^3 \nu \Sigma \partial_r \Omega)}{\partial_r (r^2 \Omega)} \right)$$

Modell für  $\nu$ ???

→ molekulare Viskosität viel zu klein

→ turbulente Viskosität  $\nu = \alpha c_s h$  (Shakura & Sunyaev 1973)

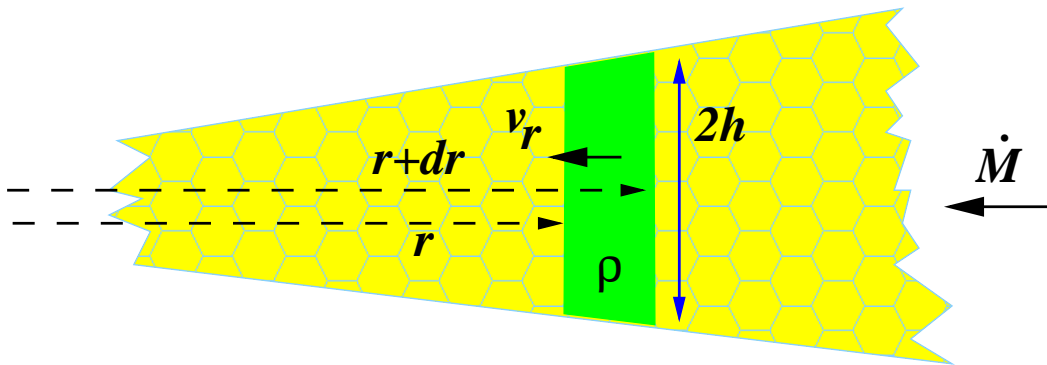
# Stationäre dünne Akkretionscheiben

Stationäre, axialsymmetrische dünne Akkretionsscheibe:

(1) Massenerhaltung  $\rightarrow$  Akkretionsrate:

Aus

$$\frac{\partial \Sigma}{\partial t} + \frac{1}{r} \frac{\partial}{\partial r} (r \Sigma v_r) = 0 \rightarrow \dot{M} = -2\pi r \Sigma v_r = \text{konstant}$$



$$(\dot{M} = \frac{dM}{dt} = \frac{d}{dt}(\rho V) = \bar{\rho} \frac{dV}{dt} = \bar{\rho} A \frac{dr}{dt} = -2\pi r 2h \bar{\rho} v_r = -2\pi r \Sigma v_r)$$

(2) Drehimpulserhaltung:

Integration der stationären Drehimpulsgleichung:

$$\rightarrow \frac{\dot{M} \Omega}{2\pi} + \frac{C}{r^2} = - \int t_{r\phi} dz$$

$C = -r^2 \Omega(r_i) \dot{M} / 2\pi$  bestimmt am Radius  $r_i$  mit  $t_{r\phi}(r_i) = 0$

$\rightarrow$  z.B. Sternradius: Material ko-rotiert mit Stern

$\rightarrow$  z.B. Korotations-Radius stellarer Magnetosphären

$\rightarrow$  AGN: marginal stabiler Orbit um BH

Interpretation:  $C$  ist Drehimpulsfluß, Erhaltungsgröße

$$\rightarrow \frac{\dot{M} \Omega}{2\pi} R(r) = - \int t_{r\phi} dz, \quad R(r) \equiv 1 - \left(\frac{r_i}{r}\right)^2 \frac{\Omega(r_i)}{\Omega(r)}$$

$\rightarrow$  Keplerscheibe:  $R(r) = 1 - \sqrt{r_i/r}$

$\rightarrow$  radiales Profil  $\leftrightarrow$  Viskosität/Turbulenzmodell

$\rightarrow \dot{M}, M$  geben benötigte Spannungen eindeutig vor

## Dünne Akkretionscheiben – Energiebilanz

Stationäre, axialsymmetrische dünne Akkretionsscheibe:

(3) Energieerhaltung:

Akkretion → Energiegewinn aus potentieller Energie

→ (i) Orbitale kinetische Energie

→ (ii) Drehimpulstransport nach außen

→ (iii) Wärmeerzeugung durch viskose Reibung

Viskose Scherung erzeugt lokal Wärme  $Q$  mit Rate

$$\dot{Q} = \nu \Sigma \left( r \frac{d\Omega}{dr} \right)^2 = \frac{\dot{M} \Omega^2}{2\pi} \left| \frac{d \ln \Omega}{d \ln r} \right| \left( 1 - \left( \frac{r_i}{r} \right)^2 \frac{\Omega(r_i)}{\Omega(r)} \right)$$

(unabhängig von Viskosität)

Keplerscheibe:

$$\dot{Q} = \frac{3}{4\pi} \frac{GM\dot{M}}{r^3} \left( 1 - \sqrt{\frac{r_i}{r}} \right) = \dot{Q}^+$$

Bei sofortiger Abstrahlung in vertikale Richtung:

Totale Scheibenleuchtkraft (integriert von  $r = \infty$  bis  $r = r_i$ ):

$$L_{\text{tot}} = \frac{1}{2} \frac{GM\dot{M}}{r_i}$$

(Faktor 1/2 nur für nicht-relativistische Scheiben)

## Dünne Akkretionscheiben – Spektrum

Stationäre, axialsymmetrische dünne Akkretionsscheibe:

Annahme: lokales thermisches Gleichgewicht (LTE)

Scheibenringe emittieren als Schwarzkörper:  $\dot{Q}^- = 2\sigma T_s(R)^4$

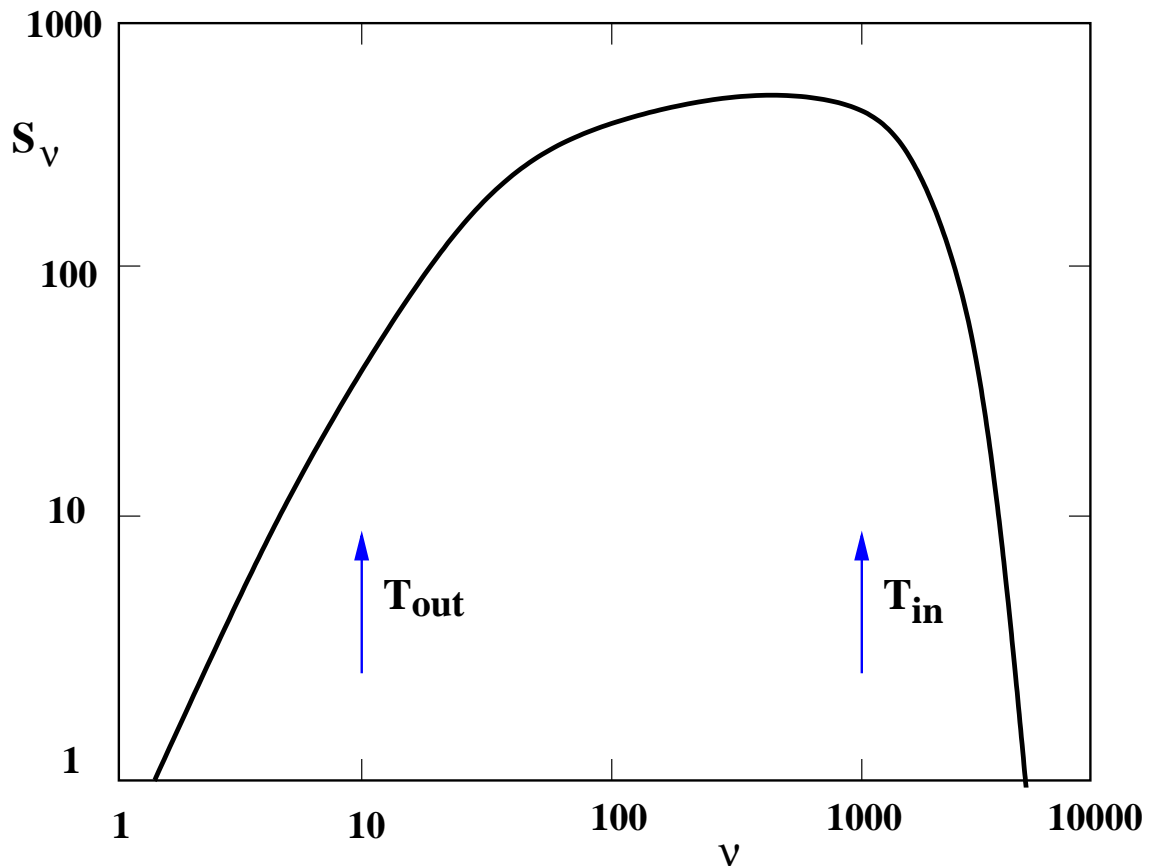
Mit  $\dot{Q}^+ = \dot{Q}^-$ :

$$T_s = \left( \frac{3GM\dot{M}}{8\pi r^3\sigma} \left( 1 - \sqrt{\frac{r_i}{r}} \right) \right)^{1/4} \sim r^{-3/4}$$

Integration von  $F_\nu(T_s(r)) \sim \nu^3 / (\exp(h\nu/kT_s(r)) - 1)$

ergibt das Scheibenspektrum:

$$S_\nu \sim \int_{r_i}^{r_{\text{out}}} F_\nu(T_s(r)) 2\pi r dr$$



Scheibenspektrum als Funktion  $S_\nu(T(r))$  (normierte Einheiten)

→ spektrale Beiträge der Scheibenringen mit  $T(r)$

→  $S_\nu(\nu)$  und Vgl. mit Beobachtung

# Akkretionscheiben – Turbulenzmodell

Turbulente Viskosität ermöglicht Drehimpulstransport/Akkretion

Abschätzung der Viskosität:  $\nu \sim lv$

→ typische Geschwindigkeit  $v$

→ typische Längenskala  $l$

Molekulare Viskosität:

–  $l \propto 10$  cm freie Weglänge der Moleküle

–  $v \sim v_{\text{therm}} \simeq 10^7 \text{ cm s}^{-1}$  thermische Geschwindigkeit

→ viskose Zeitskala (Akkretion)  $\tau_{\text{acc}} \sim r_{\text{acc}}^2/\nu \sim 10^{15}$  Jahre (für  $r_{\text{acc}} = 0.01 \text{ pc}$ )!

Anomale Viskosität notwendig:

Modell von Shakura & Sunyaev (1973):

→ Turbulente Viskosität: Reibung turbulenter Zellen

→  $l < h$  Größe der Zellen

→  $v_t < c_s$  turbulente Geschwindigkeit subsonisch

→ Druck  $P$  charakterisiert alle Systemänderungen

$$\rightarrow \nu = \alpha c_s h, \quad \alpha < 1, \quad \rightarrow t_{r\phi} = -\alpha P$$

(“ $\alpha$ -Viskosität,  $\alpha$ -Scheiben,  $\alpha$ -Parametrisierung”)

In der Scheibenmodellierung meist  $0.001 < \alpha < 1$  (“Beobachtungswert”; aber auch Ausnahmen → ADAF)

“Berechnung” von  $\alpha$  mit Hilfe numerischer Simulationen

→  $\alpha \simeq 0.01$  klein; manchmal negativ (→ Drehimpuls nach innen)

Anwendung der  $\alpha$ -Parametrisierung:

Löse Scheiben-Strukturgleichungen Shakura & Sunyaev (1973):

$$\begin{aligned} \Sigma &= \int \rho dz \simeq 2h\rho, & \dot{M} &= 2\pi r \Sigma v_r, & (\dot{M}\Omega/2\pi)R(r) &= -\int t_{r\phi} dz \\ L_{\text{tot}} &= \frac{1}{2} \frac{GM\dot{M}}{r_i}, & h &= c_s/\Omega, & t_{r\phi} &= -\alpha P, & \kappa^{-1}(\rho, T) &\simeq \kappa_{\text{scat}}^{-1} + \kappa_{\text{abs}}^{-1} \\ P(\rho, T) &= 2\rho k_B T/m_p + (1/3)aT^4, & F(r) &\simeq acT^4/\kappa\Sigma \end{aligned}$$

Neun Gleichungen für

$$\rho(r), h(r), \Sigma(r), v_r(r), P(r), T(r), t_{r\phi(r)}, \kappa(r), F(r)$$

Drei radiale Lösungsbereiche:

(1) Außen: Gas-Druck dominiert, frei-frei Opazität

(2) Mittig: Gas-Druck dominiert, Streu-Opazität

(3) Innen: Strahlungsdruck dominiert, Streu-Opazität

Beispiel Strahlungsdruck dominierte Scheibe ( $x = r/r_g$ ):

$$h = 1.5 \times 10^{13} \text{cm} \frac{L}{\eta 10^{46} \text{erg s}^{-1}} \frac{\kappa}{\kappa_T} (1 - \sqrt{(6/x)})$$

$$\rho = 3 \times 10^{-13} \text{g cm}^{-3} \alpha^{-1} \frac{\eta^2 L_{\text{edd}}}{L} \frac{10^{46} \text{erg s}^{-1}}{L} \left( \frac{\kappa}{\kappa_T} \right)^{-3} x^{3/2} (1 - \sqrt{(6/x)})$$

Grenze zwischen (1) und (2) bei

$$x_{12} \simeq 1000 \alpha^{2/21} \left( \frac{L}{10^{46} \text{erg s}^{-1}} \right)^{2/21} \left( \frac{L}{L_{\text{edd}}} \right)^{2/3} \left( \frac{\kappa}{\kappa_T} \right)^{20/21}$$

# Akkretionscheiben – Magnetorotations-Instabilität

– Ursache der Scheiben-Turbulenz:

→ Lange rätselhaft: Keine Hinweise auf Scheibeninstabilität:

Schwarzschildkriterium für Instabilität:  $\partial_r l^2 > 0$

Erfüllt für Keplerscheibe:  $\partial_r l^2 = \partial_r GMr > 0$

→ 1991: Instabilität durch Magnetfelder!

Schwaches Magnetfeld in differentiell rotierendem Medium → instabiles Gleichgewicht → Turbulenz

– Theoretisch untersucht von Chandrasekhar (1961) u. Velikhov (1959), nicht weiterverfolgt (Anwendung damals unbekannt)

– Wiederentdeckt für Akkretionsscheiben:

Magneto-Rotations-Instabilität (MRI), Balbus & Hawley (1991)

→ Theorie und numerische Simulationen:

MRI Anregung bei schwachen Magnetfeldern

Exponentieller Anstieg Instabilität bis Sättigung

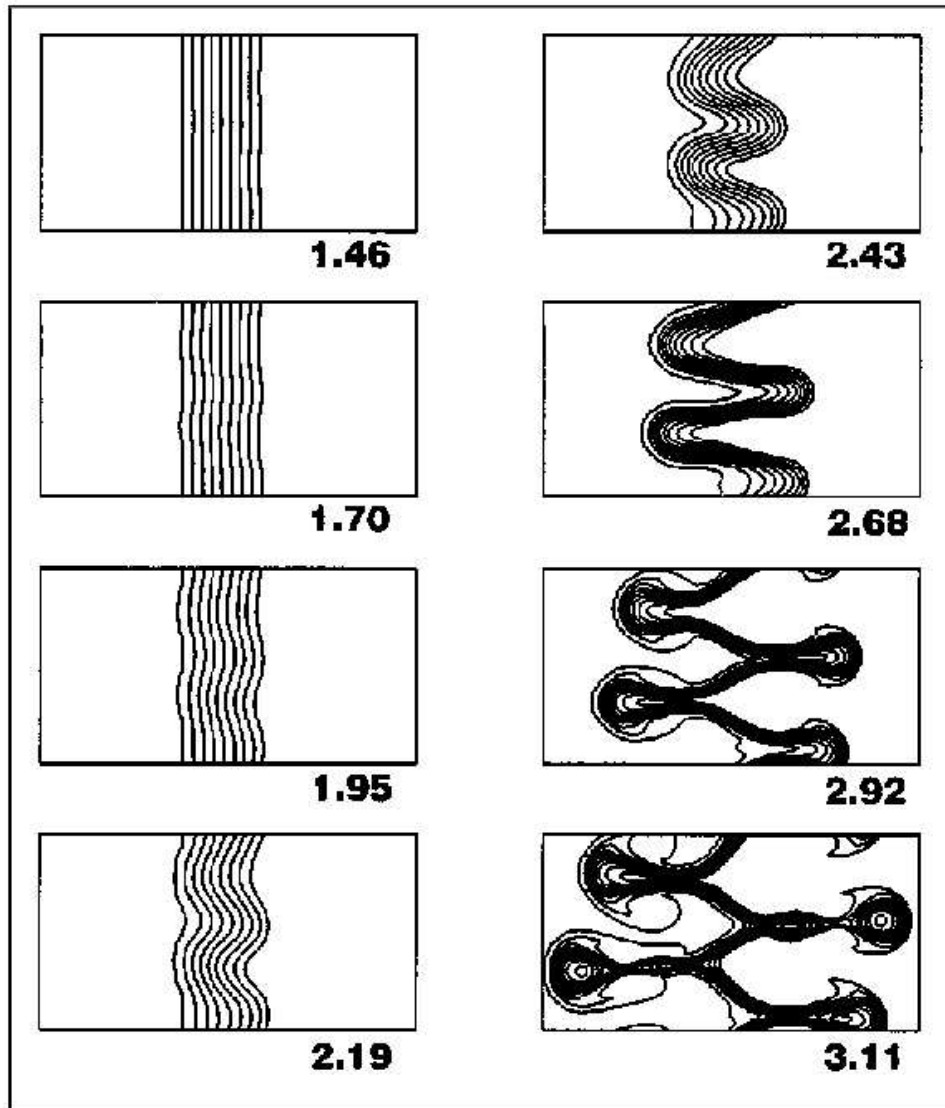
Oberer Grenzwert für Magnetfeldstärke

– Zum Verständnis der MRI, Beispiele:

(1) Raumfahrt: Annäherung von Raumschiffen: Abbremsung des schnelleren auf innerer Bahn → Drehimpulsverlust → Absinken zu kleineren Orbit → Entfernung vom äußeren Raumschiff!

(2) Körper auf Keplerorbits, verbunden durch “Federn”

Numerische Simulationen: → Instabilitätsentwicklung des Vertikalmagnetfeldes

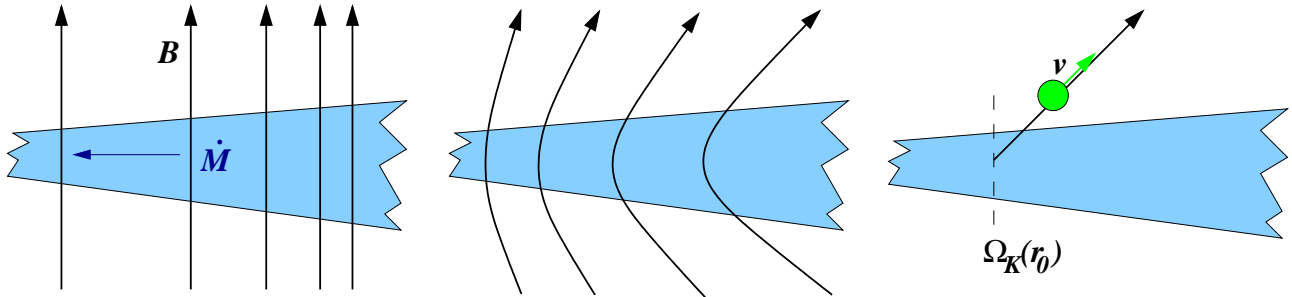


$(\Delta r, \Delta z)$ -Box in einer axialsymmetrischen Akkretionsscheibe, Zeitskala (1.46–3.11) in Rotationszeiten (Orbit des Box-Zentrums)

# Akkretionscheiben – Scheibenwinde

Drehimpuls-Austausch von der Scheibe durch Scheibenwinde

- (1) Advektion von Magnetfeld aus interstellarem Medium
- (2) Massenakkretion “verbiegt” Magnetfeld



- (3) “Magnetozenrifugale” Beschleunigung (Blandford & Payne 1982)

- Betrachte  $\mathbf{B}$ -Linien als Drähte mit Perlen
- Rotation der  $\mathbf{B}$ -Linien/Drähte mit  $\Omega_K(r_0)$

→ effektives Potential entlang  $\mathbf{B}$

$$\Phi(r, z) = -\frac{GM}{r_0} \left( 0.5 \left( \frac{r}{r_0} \right)^2 + \frac{r_0}{\sqrt{r^2 + z^2}} \right)$$

→ Stabiler Orbit,  $\partial_r \Phi(r, z) = 0$  (z.B.  $r = r_0$ )

→ Instabiles Gleichgewicht  $\leftrightarrow \partial_r^2 \Phi(r, z) < 0 \rightarrow \phi > 30^\circ$

- (4a) Magnetischer Drehimpuls im Wind:  $l \sim r_A v_A \gg r_0 v_K(r_0)$

( $r_A$  Alfvénradius  $\leftrightarrow E_{\text{kin}} = E_{\text{mag}}$ )

- (4b) Magnetisches Drehmoment:  $\rightarrow \mathcal{G} = \mathbf{r} \times \mathbf{F}_L$

→ Lorentzkraft  $\mathbf{F}_L, \phi$ , die an Feldlinie (“Draht”) angreift:

mit  $\mathbf{F} \sim \mathbf{j} \times \mathbf{B}$ ,  $\mathbf{j} \sim \nabla \times \mathbf{B} \rightarrow \mathcal{G} \sim r B_z B_\phi$

→ Drehimpuls-Transport magnetischer Winde sehr effizient:

→ “ $\alpha$ -Parameter”:  $\alpha_{\text{eff}} \simeq r_A / h(r_0) \gg 1$

→ Existenz der Winde nicht klar; theoretische Simulationen fehlen

## Akkretionscheiben – Dicke Scheiben, ADAFs

ADAF: “Advection-dominated accretion flow”:

Bisher:

– Dünne Scheibe  $h/r \ll 1$ ;  $Q^-(r) = Q^+(r)$  – Strahlungskühlung dominiert  
Energietransport

– Beobachtung:

Geringe zentrale Leuchtkraft ausgedehnter Radiogalaxien:

→ Energietransport dominiert durch Advektion (ADAF):

$$Q^- = (1 - f)Q^+, \quad Q^+ - Q^- = f \frac{2\alpha\rho c_s^2 r^2 h^2}{\Omega_K} \left(\frac{d\Omega}{dr}\right)^2, \quad f \simeq 1$$

↔ Falls  $\dot{M}$  sehr klein, →  $\rho$  klein, wenig lokale Kühlung

↔ Falls Akkretionsrate sehr groß → optische Tiefe groß → Kühlzeit der  
Scheibenmaterie  $\gg$  Akkretionszeit:

$$t_{\text{cool}} \sim H\tau/c \gg t_{\text{acc}} \sim r/v_r$$

Lösung der 1D-Hydrogleichungen (z.B. Narayan & Yi 1994): ( $z$ -integriert,  
selbstähnlich)

→ Scheibenstruktur:

$c_s \simeq v_K \leftrightarrow h/r \simeq 1$  (dicke Scheibe)

$v_r \sim \alpha c_s^2 / v_K$  (sehr groß im Vgl. zur dünnen Scheibe)

$\Omega(r) \ll \Omega_K(r)$  (sub-Kepler'sch;  $\sim$  Bondi-Akkretion)

→ Scheibenleuchtkraft:

$L_{\text{ADAF}} \ll L_{\text{thin}} \sim GM\dot{M}/r_{\text{in}}$  (durch Definition)

Temperaturen:  $T_{\text{ion}} \gg T_{e^-}$ , effiziente Elektronenkühlung

Ionen-Tori geringer Leuchtkraft (Rees et al. 1982)

→ Scheibenstabilität: ADAF konvektiv instabil

→ aktuelles Forschungsgebiet → ADAF, CDAF, ADIOS,...

# Akkretionscheiben – Generisches Spektrum

Generisches Spektrum einer dünnen Scheibe im LTE:

Scheibenringe emittieren als Schwarzkörper:

$$\rightarrow T_s = \left( \frac{3GM\dot{M}}{8\pi r^3 \sigma} \left( 1 - \sqrt{r_i/r} \right) \right)^{1/4} \sim r^{-3/4}$$

→ LTE-Scheibenspektrum:  $S_\nu = \int_{r_{\text{in}}}^{r_{\text{out}}} F_\nu(T_s(r)) 2\pi^2 r dr$

$$S_\nu = \frac{16\pi^2 h r_o^2}{3c^2} \left( \frac{k_B T_o}{h} \right)^{8/3} \nu^{1/3} \int_{x_{\text{in}}}^{x_{\text{out}}} \frac{x^{5/3}}{e^x - 1} dx, \quad x \equiv h\nu/k_B T_s$$

Für  $x_{\text{in}} \rightarrow 0$  und  $x_{\text{out}} \rightarrow \infty$ :  $(\int \dots dx) \simeq 1 \rightarrow S_\nu \sim \nu^{1/3}$

(Achtung: Potenzgesetz gilt auch für Streulicht aus Zentralquelle an flacher Scheibe)

Verschiedene Frequenzbereiche:

Kleine  $\nu$  (Scheibenaußenrand)  $\rightarrow S_\nu \sim \nu^2$  (Rayleigh-Jeans)

Große  $\nu \rightarrow S_\nu \sim \nu^3 \exp(-h\nu/k_B T)$  (Wien'sches Gesetz)

→ “cut-off” bei  $\nu_{\text{max}} \simeq k_B T_{\text{max}}/h$

$$T_{\text{max}} = \left( \frac{3GM\dot{M}}{8\pi\sigma r_{\text{in}}^3} \right)^{1/4} = 1.5 \times 10^5 \text{K} \left( \frac{M}{10^8 M_\odot} \right)^{-1/4} \left( \frac{\dot{M}}{\dot{M}_{\text{edd}}} \right)^{1/4}$$

Verschiedene Scheibenradien  $\leftrightarrow$  Frequenzbereiche:

→ Maximale Abstrahlung  $S_\nu$  bei  $r_\nu$ , mit  $k_B T_s(r_\nu) \simeq h\nu$

Für  $r < r_\nu \rightarrow h\nu \ll k_B T_s$

→ Rayleigh-Jeans:  $F_\nu = 2(h\nu)^2 k_B T / h^3 c^2$

→ Totale Abstrahlung:

$$S_\nu \simeq \int_{r_{\text{max}}}^{r_\nu} \frac{2(h\nu)^2}{h^3 c^2} T_s(r_{\text{max}}) \left( \frac{r}{r_{\text{max}}} \right)^{-3/4} 2\pi r dr$$

→ Integrand  $\sim r^{1/4} \rightarrow$  Integral dominiert von  $r_\nu$

→ Strahlung mit  $\nu$  kommt vom Radius  $r_\nu$

## Akkretionscheiben – Modifiziertes Spektrum

Modifikationen des generischen Spektrums einer stationären dünnen Scheibe:

→ Modellierung erfordert detaillierte Rechnungen

(1) Streulicht der inneren Scheibenregion von Außenbereichen

(“disk flaring”, “warped disks”)

Streustrahlung  $\gg$  lokale Emission

(2) Atmosphärische Effekte:

Schwarzkörper → Scheibenphotosphäre

→ Modell: Superposition von Photosphären früher Sterne

(3) Chromosphäre, Korona:

“Aktive” Scheibe: Scheibenwind, magnetische Rekonnektion

(4) Polarisierung durch Streuung:

Opazität dominiert durch Elektronen-Streuung

Spektrum abhängig vom Sichtwinkel:

Depolarisierung durch Faraday-Rotation in der Scheibe

(5) Relativistische Effekte:

Doppler-Verschiebung, gravitative Rotverschiebung

Photonen mit hoher Energie aus Innenbereich der Scheibe

→ Doppler-“boosting” durch relativistische Rotation

→ “Light Bending”: Lichtwege aus Achsenrichtung weggebogen

→ Sichtwinkeleffekt: Spektrum in Pol-Richtung arm an energiereichen Photonen

(6) Instabilität der Scheibe  $\leftrightarrow$  stationäres Spektrum

# Akkretionscheiben – Spektrum, Opazität

Prozesse, die die Opazität bestimmen:

(1) Compton-Streuung (für AGN-Scheiben optisch dick)

(2) frei-frei-Absorption:

3-Körper-Prozess: Photon + Elektron nahe Kern

→ Opazität  $\sim$  Dichte:

$$\kappa_{\text{ff}} = 4.90 \times 10^7 \rho g(\epsilon, T) \left( \frac{T}{10^5 \text{K}} \right)^{-7/2} \epsilon^{-3} (1 - \exp(-\epsilon)) \text{cm g}^{-1}$$

(Gaunzfaktor  $g \simeq 1$ , (Quantenmechanik),  $\epsilon \equiv h\nu$ )

(In kosmischen Plasmen H, He voll ionisiert)

Optische Dicke bzgl. frei-frei-Absorption:

$$\tau_{\text{ff}} = 10^{-4} \frac{r^3}{r_g^3} \left( \frac{T}{10^5 \text{K}} \right)^{-7/2} \frac{L^2}{L_{\text{edd}}^2} \left( \frac{L}{10^{46} \text{erg s}^{-1}} \right)^{-1} \frac{g\eta^3}{\alpha^2} \frac{1 - e^{-\epsilon}}{\epsilon^3} \frac{R_z^3 R_T^2}{R_R^5}$$

(Strahlungsdruck unterstützte Scheibe)

$\tau_{\text{ff}}$  klein → lokale Photonen ( $\epsilon \simeq 1$ ) werden nicht gestoppt

Aber hohe Potenzen:  $\tau_{\text{ff}} \simeq (r/r_g)^3 (L/L_{\text{edd}})^{-2} (T/10^5 \text{K})^{-7/2}$

(3) gebunden-frei-Absorption: (für H-ähnliche Atome):

→ Wirkungsquerschnitt → Besetzungszahl (Saha-Gl.)

→  $\kappa_{\text{bf}} \sim 10^7 Z^{-5} n^6 \rho \epsilon^{-3/2} \dots$

→ Beide Opazitäten ähnlich

$(\kappa_{\text{ff}}/\kappa_{\text{bf}}) \sim 1.7 \times Z^4 n^{-3} T^{-1} \exp(10^5 Z^2/Tn^2)$

→ für niedrige  $T$  (d.h.  $M$  oder  $r/r_g$  groß) wird  $\kappa_{\text{bf}}$  wichtiger

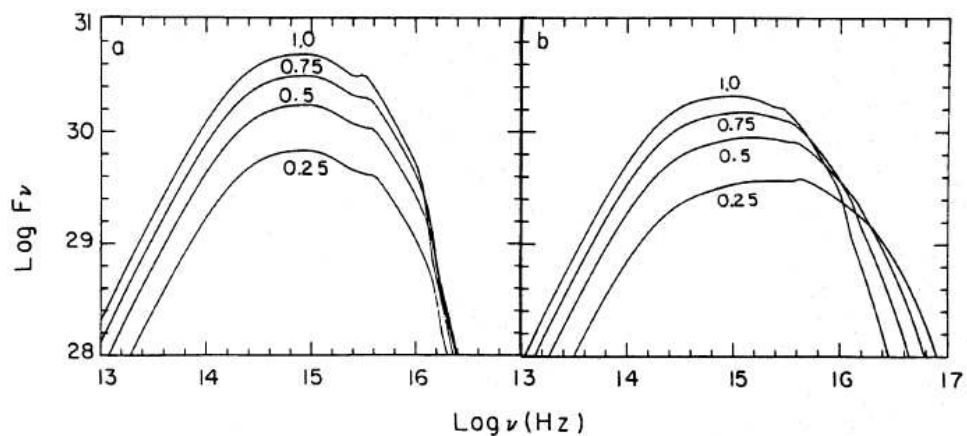
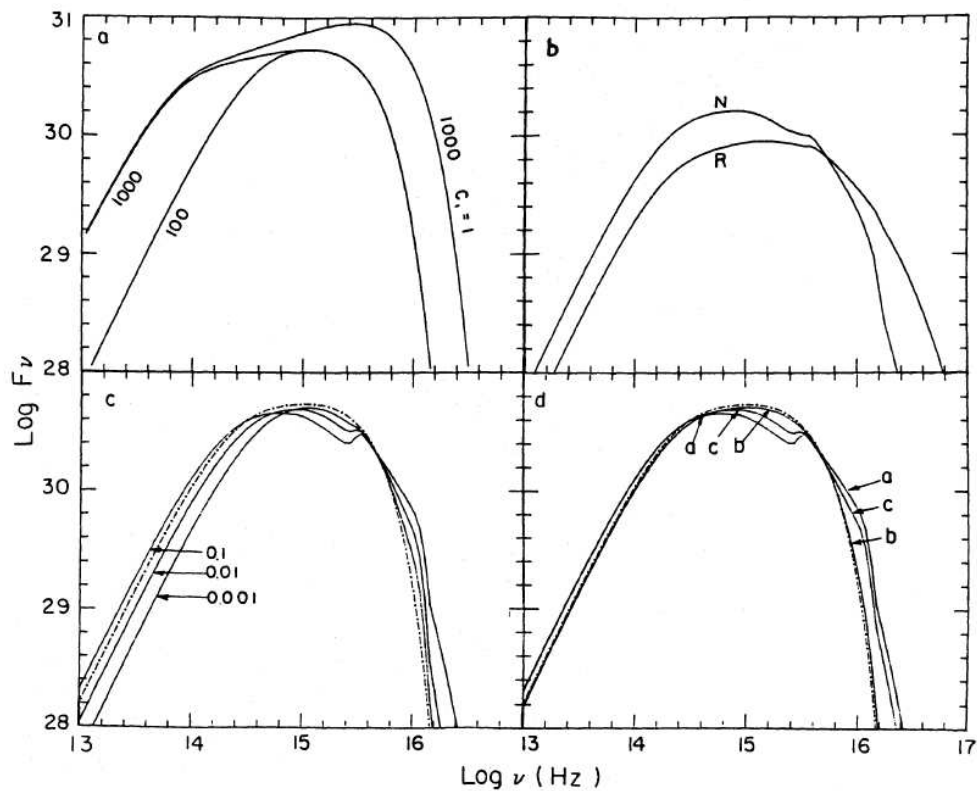
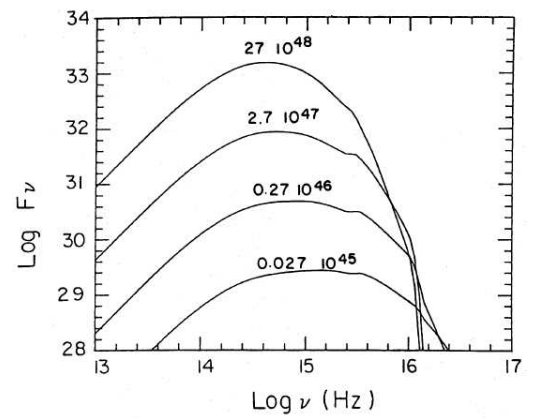
## Akkretionscheiben – Modifizierte Spektrum

- Berechnung der Scheibenvertikalstruktur unter Berücksichtigung von Strahlungsstransport
  - Struktur der Scheibenphotosphäre
  - kein Planck-Spektrum, modifizierter Schwarzkörper (Modelatmosphäre ähnlich zu weißen Zwergen)
- Einfluß der Scheiben-Temperaturverteilung:
  - Vertikal isotherme Scheibe  $\leftrightarrow$  Temperaturgradient
- Sichtwinkel: Inklination der Scheibe zur Sichtlinie
  - (1) lokale Randverdunkelung – Strahlungstransport:  $I_\nu \simeq 3/4F_\nu(\mu + 2/3)$ 
    - Klassisch: Inklination  $\theta \rightarrow F_\nu = I_\nu \cos \theta$
  - (2) geometrischer Projektionseffekt
  - (3) Einfluß relativistischer Elektronen auf Photonen:
    - Bahn-Krümmung, Gravitationslinseneffekt ( $\sim M$  und  $r_{\text{in}}$ , d.h.  $a = J/M$ )
    - Dopplerverschiebung:  $h\nu_o = Dh\nu_e$
    - Dopplerfaktor:  $D = 1/(\gamma(1 - \beta \cos \theta))$
    - Dopplerboosting:  $L_o(\nu_o) = D^3L_e(\nu_e)$

# Akkretionscheiben – Beispiel Spektren

Laor & Netzer (1989):

Dünne  $\alpha$ -Scheibe,  $L < 0.3L_{\text{edd}}$ ,  
relativistisch, alle Opazitäten,  
Eddington-Strahlungstransport,  
vertikaler Temperaturgradient,  
Strahlungsdruck-dominiert



# Akkretions Scheiben – Beispiel Spektren

Hubeny, Agol, Blaes, Krolik (2000)

Nicht-LTE Modelle, relativistisch,  $\alpha$ -Scheibe,  $L < 0.3L_{\text{edd}}$ , Scheibenvertikalstruktur, totales Spektrum aus Scheibenringen

